

# Линейная стадия эволюции электронно-дырочных лавин в полупроводниках

© А.С. Кюрегян<sup>†</sup>

Всероссийский электротехнический институт им. В.И. Ленина,  
111250 Москва, Россия

(Получена 12 марта 2007 г. Принята к печати 27 марта 2007 г.)

Получено полное аналитическое решение задачи о линейной стадии эволюции электронно-дырочных лавин в однородном и постоянном внешнем электрическом поле  $E_{\text{ext}}$ . Теория учитывает дрейф, диффузию и ударную ионизацию электронов и дырок и позволяет вычислить пространственно-временные распределения полей и зарядов, а также все основные параметры лавин вплоть до начала проявления нелинейных эффектов в момент времени  $t_a$ . Выведены формулы для групповой скорости лавины и скорости распространения ее лидирующих фронтов. Показано, что время  $t_a$  следует определять из условия уменьшения коэффициентов ударной ионизации  $\alpha$  в центре лавины на заданную малую величину  $\eta$ . Получено трансцендентное уравнение, позволяющее рассчитать  $t_a$  как функцию  $\eta$ , невозмущенного значения  $\alpha(E_{\text{ext}})$  и других параметров полупроводника. Обнаружено, что при увеличении  $\alpha(E_{\text{ext}})$  на 2 порядка полное число рожденных к моменту  $t_a$  пар уменьшается почти на 3 порядка.

PACS: 72.20.Ht, 72.20.Jv, 85.30.De, 85.30.Mn, 85.30.Kk, 52.80.-s, 51.50.+v

## 1. Введение

Электрический пробой длинных промежутков, заполненных газом при больших давлениях, обычно начинается с электронных лавин, которые превращаются в стримеры после прохождения лавиной некоторого критического расстояния [1,2]. Подобное развитие пробоя возможно и в полупроводниках, в частности в сильно перенапряженных  $p$ - $n$ -переходах [3,4], однако электронно-дырочные лавины должны существенно отличаться от электронных лавин в газах. Причиной этого различия является то, что все кинетические коэффициенты электронов и дырок в полупроводниках соизмеримы, тогда как в газах и ударная ионизация, и перенос заряда осуществляются главным образом электронами. В недавнем сообщении автора [5] была предложена первая аналитическая теория электронно-дырочной лавины, позволяющая вычислить ее основные параметры до начала искажения внешнего поля объемным зарядом лавины и определить время  $t_a$  начала лавинно-стримерного перехода (ЛСП). В настоящей работе эволюция электронно-дырочной лавины в однородном и постоянном электрическом поле ( $-E_{\text{ext}}$ ) изучена более подробно. В отличие от [5] учтена продольная диффузия носителей заряда, что позволило не только значительно повысить точность вычисления времени  $t_a$  и остальных параметров лавины (особенно в сильном внешнем поле и при больших коэффициентах диффузии), но и упростить сами вычисления и конечные формулы. Кроме того, найдены групповая скорость лавины и скорости распространения ее фронтов.

Для описания распределения электронов  $n(t, \mathbf{r})$  и дырок  $p(t, \mathbf{r})$  в лавине мы использовали систему уравнений

непрерывности

$$\begin{aligned} \frac{\partial n}{\partial t} + \nabla(\mathbf{v}_e n - D_e \nabla n) &= \frac{\partial p}{\partial t} + \nabla(\mathbf{v}_h p - D_h \nabla p) \\ &= (g_e n + g_h p) \end{aligned} \quad (1)$$

с начальными и граничными условиями

$$n(\mathbf{r}, 0) = p(\mathbf{r}, 0) = n_0(\mathbf{r}), \quad n(\infty, t) = p(\infty, t) = 0, \quad (2)$$

где  $D_{e,h}$ ,  $\mathbf{v}_{e,h}$ ,  $\alpha_{e,h}$  и  $g_{e,h} = \alpha_{e,h} v_{e,h}$  — коэффициенты диффузии, средние дрейфовые скорости, коэффициенты и частоты ударной ионизации, индексы „e“ и „h“ относятся к электронам и дыркам соответственно. Этих уравнений достаточно до тех пор, пока искажение внешнего поля объемным зарядом лавины пренебрежимо мало. Граничные условия (2) подразумевают, что размеры лавины значительно меньше расстояния между электродами  $d$ . Если зародышем лавины является единичная электронно-дырочная пара, возникшая в точке  $\mathbf{r} = 0$  в момент времени  $t = 0$ , то следует использовать начальное условие в виде  $\delta$ -функции Дирака  $n_0(\mathbf{r}) = \delta(\mathbf{r})$ . Однако сначала в разд. 2 мы рассмотрим случай плоского одномерного начального возмущения. Это целесообразно сделать по двум причинам. Во-первых, одномерное решение имеет самостоятельную ценность, так как позволяет описать начальную стадию эволюции плоских волн ударной ионизации, представление о которых широко используется для описания динамики пробоя перенапряженных  $p$ - $n$ -переходов (см., например, последние работы [6,7] и приведенный в них список литературы). Во-вторых, как будет показано в разд. 3, его можно использовать для описания линейных (т.е. проинтегрированных по площади) плотностей носителей заряда в электронной лавине, порожденной точечным начальным возмущением, в частности единичной электронно-дырочной парой. В разд. 4 будет дана оценка длительности стадии линейной эволюции начального возмущения,

<sup>†</sup> E-mail: ask@vei.ru

которая в случае  $n_0(\mathbf{r}) = \delta(\mathbf{r})$  равна времени начала ЛСП  $t_a$ . Наконец, в Заключение суммированы основные результаты работы.

## 2. Одномерное начальное возмущение

Если начальное возмущение зависит только от одной координаты  $x$ , то уравнения (1) принимают вид

$$\frac{\partial n}{\partial t} + \frac{\partial}{\partial x} \left( v_e n - D_e \frac{\partial n}{\partial x} \right) = \frac{\partial p}{\partial t} - \frac{\partial}{\partial x} \left( v_h p + D_h \frac{\partial p}{\partial x} \right) = (g_e n + g_h p). \quad (3)$$

Решение задачи Коши (2), (3) можно получить, используя преобразования Фурье по координате и Лапласа по времени. В системе координат  $z = (x - Vt)$ , движущейся относительно кристаллической решетки вдоль поля со скоростью  $V$ , плотность объемного заряда  $Q = q(p - n)$  и напряженность создаваемого этим зарядом поля  $E_a(z, t)$  представимы в виде

$$Q(z, t) = -\frac{q}{\pi} \times \int_{-\infty}^{\infty} \bar{n}_0(k) (iv_+ k - D_- k^2) \left[ \frac{e^{\omega_+ t} - e^{\omega_- t}}{s_+ - s_-} \right] e^{ikz} dk, \quad (4)$$

$$E_a(z, t) = \frac{q}{\pi \varepsilon} \times \int_{-\infty}^{\infty} \bar{n}_0(k) (v_+ + iD_- k) \left[ \frac{e^{\omega_+ t} - e^{\omega_- t}}{s_+ - s_-} \right] e^{ikz} dk, \quad (5)$$

где  $\omega_{\pm} = s_{\pm}(k) + iVk$ ,  $q$  — элементарный заряд,  $\varepsilon$  — диэлектрическая проницаемость полупроводника,

$$s_{\pm}(k) = g_+ - iv_- k - D_+ k^2 \pm \sqrt{(g_- - iv_+ k - D_- k^2)^2 + g_e g_h} \quad (6)$$

— решения дисперсионного уравнения задачи (3),  $\bar{n}_0(k) = \int_{-\infty}^{\infty} n_0(x) e^{-ikx} dx$ ,  $g_{\pm} = (g_e \pm g_h)/2$ ,  $v_{\pm} = (v_e \pm v_h)/2$ ,  $D_{\pm} = (D_e \pm D_h)/2$ . Для оценки интегралов (4), (5) при больших  $t$  можно воспользоваться методом перевала. Так как

$$\omega_{\pm}(i\lambda) = g_+ - (V - v_-)\lambda + D_+ \lambda^2 \pm \sqrt{(g_- + v_+ \lambda + D_- \lambda^2)^2 + g_e g_h}, \quad (7)$$

то  $\text{Im} \omega(i\lambda) = 0$  и седловые точки  $k_{\pm}^V$  функций  $\omega_{\pm}(k)$  расположены на мнимой оси комплексной плоскости  $k = \kappa + i\lambda$ , т.е.  $k_{\pm}^V = i\lambda_{\pm}^V$ , а  $\lambda_{\pm}^V$  определяется из условий минимума  $\omega_{\pm}(i\lambda)$ :

$$\left. \frac{\partial \omega_{\pm}(i\lambda)}{\partial \lambda} \right|_{\lambda=\lambda_{\pm}^V} = 0, \quad \left. \frac{\partial^2 \omega_{\pm}(i\lambda)}{\partial \lambda^2} \right|_{\lambda=\lambda_{\pm}^V} > 0. \quad (8)$$

Подстановка (7) в (8) дает уравнение для  $\lambda_{\pm}^V$  при заданной скорости  $V$ :

$$V = v_- + 2D_+ \lambda_{\pm}^V \pm \frac{(v_+ + 2D_- \lambda_{\pm}^V) [g_- + v_+ \lambda_{\pm}^V + D_- (\lambda_{\pm}^V)^2]}{\sqrt{[g_- + v_+ \lambda_{\pm}^V + D_- (\lambda_{\pm}^V)^2]^2 + g_e g_h}}. \quad (9)$$

При деформировании исходного контура интегрирования (действительной оси) в содержащий точку  $k_{\pm}^V$  контур „наискорейшего спуска“  $C^V$  можно игнорировать существование точек ветвления у  $s_{\pm}(k)$ , так как, несмотря на это, функция в квадратных скобках под интегралами (4), (5) является целой.

Анализ формулы (7) показывает, что не только  $\omega_+(i\lambda) > \omega_-(i\lambda)$  при любых  $\lambda$ , но и  $\omega_+(i\lambda_+^V) > \omega_-(i\lambda_-^V)$  при всех разумных соотношениях между кинетическими коэффициентами электронов и дырок. Поэтому асимптотика  $Q(z, t)$  для больших  $t$  и любых  $z$  определяется первым слагаемым в (4) и должна вычисляться по формуле

$$Q(z, t) \propto \int_{C^V} \exp[\omega_+(k)t + ikz] dk \propto \frac{1}{\sqrt{\Delta_+ t}} \exp \left[ \omega_+(i\lambda_+^V)t - \lambda_+^V z - \frac{z^2}{4\Delta_+ t} \right], \quad (10)$$

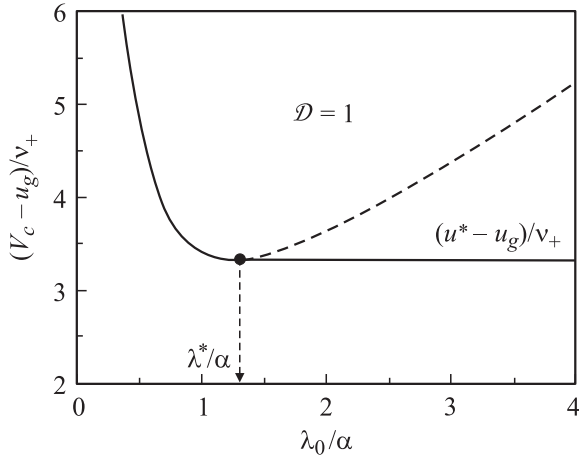
коль скоро между действительной осью и контуром  $C^V$  нет особых точек функции  $n_0(k)$ . Это последнее условие выполняется, если начальное возмущение достаточно сильно локализовано, например, по экспоненциальному закону

$$n(x, 0) \propto \exp(-|\lambda_0 x|) \quad (11)$$

при  $|\lambda_0| > |\lambda_+^V|$  или по функции Гаусса, для которой формально  $|\lambda_0| = \infty$ . В противном случае контур интегрирования при деформировании „зацепляется“ за особую точку  $i\lambda_0$ , обход которой по соответствующему контуру  $C_0$  дает основной вклад в асимптотику  $Q(x, t)$ , так как по определению  $\omega_+(i\lambda_+^V) < \omega_+(i\lambda_0)$ . Поэтому для начального возмущения вида (11) при  $|\lambda_0| < |\lambda_+^V|$  получается

$$Q(z, t) \propto \int_{C_0} \exp[\omega_+(k)t + ikz] \frac{dk}{k^2 + \lambda_0^2} \propto \exp[\omega_+(i\lambda_0)t - \lambda_0 z]. \quad (12)$$

В медленно движущихся системах координат инкремент нарастания возмущения  $\omega_+(i\lambda_+^V)$  или  $\omega_+(i\lambda_0)$  положителен, т.е. ионизационная неустойчивость абсолютна. Однако с ростом  $|V|$  характер неустойчивости должен смениться на конвективный [8]. Очевидно, это происходит при  $V = V_c$ , где критическая скорость  $V_c$



**Рис. 1.** Зависимость скорости распространения фронта от масштаба затухания начального возмущения при  $D_e = D_h = D$ ,  $g_e = g_h = g$  и  $\mathcal{D} = D\hat{\alpha}/v_+ = 1$ . Пунктиром указана нереализуемая зависимость  $V_c(\lambda_0)$  в области значений  $\lambda_0 > \lambda^*$

определяется из условий

$$\omega_+(i\lambda^*) = 0 \quad \text{или} \quad \omega_+(i\lambda_0) = 0. \quad (13)$$

Поэтому при  $|\lambda_0| > |\lambda^*|$  имеем  $V_c = u^* = s_+(i\lambda^*)/\lambda^*$ , где  $\lambda^*$  является корнем вытекающего из (8), (13) уравнения [9]

$$\frac{s_+(i\lambda^*)}{\lambda^*} = \frac{\partial s_+(i\lambda)}{\partial \lambda} \Big|_{\lambda=\lambda^*}, \quad (14)$$

или, что то же самое,

$$(D_+\lambda^{*2} - g_+) \sqrt{(g_- + v_+\lambda^* + D_-\lambda^{*2})^2 + g_e g_h} = g_+^2 + g_- v_+ \lambda^* - D_-\lambda^{*3}(v_+ + D_-\lambda^*). \quad (15)$$

Если же  $|\lambda_0| < |\lambda^*|$ , то из (13) следует, что  $V_c = s_+(i\lambda_0)/\lambda_0$ , или (см. (6), (7))

$$V_c(\lambda_0) = \left[ g_+ + v_-\lambda_0 + D_+\lambda_0^2 + \sqrt{(g_- + v_+\lambda_0 + D_-\lambda_0^2)^2 + g_e g_h} \right] \lambda_0^{-1}. \quad (16)$$

Легко видеть, что уравнение (15) эквивалентно условию  $\partial V_c / \partial \lambda_0|_{\lambda_0=\lambda^*}$  минимума функции  $V_c(\lambda_0)$ , так что  $u^* = V_c(\lambda^*)$  — минимально возможная критическая скорость [9]. Пример зависимости  $V_c(\lambda_0)$  приведен на рис. 1.

Величины  $u^*$  или  $V_c(\lambda_0)$  определяют скорости движения систем координат, в которых инкремент нарастания неустойчивости равен нулю, а  $|\lambda^*|$  или  $|\lambda_0|$  — соответствующие масштабы затухания возмущения в направлениях движения систем координат. Другими словами, можно сказать, что  $u^*$  и  $V_c(\lambda_0)$  являются скоростями, с которыми движутся лидирующие области фронтов возмущения в пределе  $t \rightarrow \infty$  при сильной ( $|\lambda_0| > |\lambda^*|$ )

и слабой  $|\lambda_0| < |\lambda^*|$  начальной локализации [9]. Простые формулы для  $u^*$  и  $\lambda^*$  получаются только в некоторых предельных случаях. Например, в „газовом пределе“ (т.е. при  $g_h = 0$ ,  $v_h = 0$ ,  $D_h = 0$ ) [10,11]

$$u^* = v_e + 2D_e \lambda^*, \quad \lambda^* = \pm \sqrt{g_e/D_e}, \quad (17)$$

а в случае биполярных переноса и ударной ионизации при  $D_e = D_h = D$ ,  $g_e = g_h = g$

$$u^* = v_- + \frac{D}{2} \left( 3 + \sqrt{1 + \frac{4}{\mathcal{D}}} \right) \lambda^*,$$

$$\lambda^* = \pm \hat{\alpha} \sqrt{\frac{1}{2} \left( \frac{2}{\mathcal{D}} - 1 + \sqrt{1 + \frac{4}{\mathcal{D}}} \right)}, \quad (18)$$

где  $\hat{\alpha} = g/v_+$ ,  $\mathcal{D} = \hat{\alpha}D/v_+$ . Следует отметить, что знаки „ $\pm$ “ в (17) и (18) никак не связаны с выбором ветви закона дисперсии  $s_{\pm}(k)$ , поскольку в любом случае инкремент нарастания определяется величиной  $\omega_+(i\lambda_+^V)$ . Они отражают существование двух пар значений  $(u^*, \lambda^*)$  (или  $(u_0, \lambda_0)$  при  $|\lambda_0| < |\lambda^*|$ ), характеризующих распространение правого и левого фронтов. Чтобы возмущение затухало при  $z \rightarrow \pm\infty$ , очевидно, нужно выбирать значения  $\lambda^*, \lambda_0 > 0$  для правого фронта ( $z > 0$ ) и  $\lambda^*, \lambda_0 < 0$  для левого фронта ( $z < 0$ ). Разумеется, в общем случае соответствующие значения  $\lambda^*, \lambda_0$  отличаются не только знаком, но и абсолютной величиной.

В процессе своей эволюции возмущение не только расширяется, но и смещается как целое со своей „групповой“ скоростью  $u_g$ , т.е. со скоростью системы координат, в которой инкремент нарастания максимален [8]. Следовательно, при  $V = u_g$  должны выполняться условия

$$\frac{\partial \omega_+(i\lambda_+^V)}{\partial V} \Big|_{V=u_g} = 0, \quad \frac{\partial^2 \omega_+(i\lambda_+^V)}{\partial V^2} \Big|_{V=u_g} < 0. \quad (19)$$

Нетрудно убедиться с учетом (8), что это происходит, когда в соответствии с общей теорией [8] седловая точка расположена на действительной оси, т.е. при  $\lambda_+^V = 0$ . Подстановка этого значения в (7) и (9) сразу дает формулы

$$\max \omega_+ = (g_e + g_h) \quad \text{и} \quad u_g = \frac{g_e v_e - g_h v_h}{g_e + g_h}, \quad (20)$$

которые верны при любых  $\lambda_0 \neq 0$ . Заметим, что при  $V = u_g$  первый член асимптотического разложения  $Q(z, t)$ , пропорциональный  $1/\sqrt{t}$ , равен нулю в точке  $z = 0$ . Это означает, что в неподвижной системе координат точка, где  $Q(z, t) = 0$ , также движется со скоростью  $u_g$  при больших  $t$ . Если же  $D_e = D_h = D$ ,  $g_e = g_h = g$ , то  $u_g = v_-$ , поэтому при симметричном начальном возмущении и  $V = u_g$  формулы (4), (5)

принимают вид

$$Q(z, t) = -\frac{q\hat{\alpha}}{\pi} e^{\tau} \times \int_{-\infty}^{\infty} \bar{n}_0(\hat{\alpha}\xi) \xi \sin(\hat{\alpha}z\xi) e^{-\mathcal{D}\xi^2} \frac{\text{sh}(\tau\sqrt{1-\xi^2})}{\sqrt{1-\xi^2}} d\xi, \quad (21)$$

$$E_a(z, t) = -\frac{q}{\pi\varepsilon} e^{\tau} \times \int_{-\infty}^{\infty} \bar{n}_0(\hat{\alpha}\xi) \cos(\hat{\alpha}z\xi) e^{-\mathcal{D}\xi^2} \frac{\text{sh}(\tau\sqrt{1-\xi^2})}{\sqrt{1-\xi^2}} d\xi, \quad (22)$$

где  $\tau = gt$ . Как видно, в этом частном случае точка, где  $Q(z, t) = 0$ , а концентрации носителей заряда и поле возмущения максимальны, расположена точно в начале координат системы с  $V = u_g$  при любых  $t$ . Если выполнено условие применимости метода перевала

$$\tau > \frac{4}{\Delta} \max(1, \hat{\alpha}^2/\lambda_0^2), \quad (23)$$

то приемлемую точность дают главные члены асимптотических разложений интегралов в (21), (22), поэтому

$$Q(z, t) \approx -\frac{q\bar{n}_0(0)\hat{\alpha}^2 z}{\sqrt{2\pi}(\Delta\tau)^{3/2}} \exp\left[2\tau - \frac{(\hat{\alpha}z)^2}{2\Delta\tau}\right], \quad (24)$$

$$E_a(z, t) \approx \frac{q\bar{n}_0(0)}{\varepsilon\sqrt{2\pi}\Delta\tau} \exp\left[2\tau - \frac{(\hat{\alpha}z)^2}{2\Delta\tau}\right], \quad (25)$$

где  $\Delta = (1 + 2\mathcal{D})$ . Максимум плотности объемного заряда достигается в точках  $z = \pm z_Q$  и равен

$$Q(z_Q, t) \approx \frac{\mp 1}{\sqrt{2\pi\varepsilon}} \frac{q\bar{n}_0(0)\hat{\alpha}}{\Delta\tau} \exp(2\tau), \quad (26)$$

где  $z_Q = v_+ t \sqrt{\Delta/\tau}$ . Из (25) следует, что отношение заряда возмущения в областях  $z > 0$  и  $z < 0$  к заряду всех электронов  $q\bar{n}_0(0) \exp(2\tau)$  равно  $(2\pi\Delta\tau)^{-1/2}$ . Это означает, что при больших  $\tau$  заряды большинства электронов и дырок в лавине компенсируют друг друга и лишь малая часть (около 15%) влияет на искажение внешнего поля.

### 3. Точечное начальное возмущение — электронно-дырочная лавина

Прежде всего заметим, что интегрирование (1) по плоскости  $\boldsymbol{\rho} \perp x$  с учетом граничных условий (2) приводит к системе уравнений для функций  $\mathcal{N}_{n,p}(x, t) = \int n, p(\mathbf{r}, t) d\boldsymbol{\rho}$ , которая точно совпадает с (3). Поэтому все результаты предыдущего раздела, касающиеся плоского начального возмущения, можно использовать для описания эволюции *линейных* плотностей электронов  $\mathcal{N}_n$ , дырок  $\mathcal{N}_p$  и объемного заряда  $q(\mathcal{N}_p - \mathcal{N}_n)$  с начальными условиями  $\mathcal{N}_{n,p}(x, 0) = \int n_0(\mathbf{r}) d\boldsymbol{\rho}$  и в трехмерном случае.<sup>1</sup> Однако

<sup>1</sup> Для этого лишь необходимо, чтобы функция  $n_0(\mathbf{r})$  была достаточно сильно локализована в плоскости  $\boldsymbol{\rho}$ .

для вычисления искажения внешнего поля необходимо еще знать радиальное распределение объемного заряда. Его нетрудно найти для начального возмущения типа  $n_0(\mathbf{r}) = n_0^x(x)n_0^p(\rho)$  в частном случае  $D_e = D_h = D$ , когда „работает“ метод разделения переменных и аксиально-симметричное решение представимо в виде<sup>2</sup>  $n, p(\mathbf{r}, t) = \mathcal{N}_{n,p}(x, t)R(\rho, t)$ , так что

$$Q(\mathbf{r}, t) = -i \frac{q}{\pi} v_+ R(\rho, t) \int_{-\infty}^{\infty} \frac{e^{\omega_+ t} - e^{\omega_- t}}{s_+ - s_-} e^{ikz} k dk. \quad (27)$$

В частности, это относится также к эволюции начального возмущения в виде единичной электронно-дырочной пары, для которой  $n_0(\mathbf{r}) = \delta(\mathbf{r})$  и  $R(\rho, t) = (4\pi Dt)^{-1} \exp(-\rho^2/4Dt)$ .

Очевидно, продольное поле объемного заряда лавины  $E_a^{\parallel}(\mathbf{r}, t)$  максимально на ее оси. Для вычисления  $E_a^{\parallel}(z, t)$  удобно воспользоваться формулой

$$E_a^{\parallel}(z, t) = \frac{1}{2\pi\varepsilon} \int \frac{(z' - z)Q(\mathbf{r}', t)}{[(z - z')^2 + \rho^2]^{3/2}} dz' d\boldsymbol{\rho}. \quad (28)$$

Подставляя (27) в (28), получим после интегрирования по  $\mathbf{z}'$  и  $\boldsymbol{\rho}$

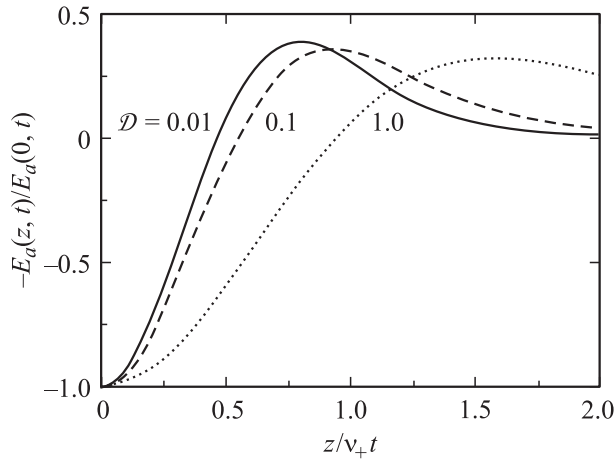
$$E_a^{\parallel}(z, t) = \frac{qv_+}{4\pi^2\varepsilon} \times \int_{-\infty}^{\infty} \frac{e^{\omega_+ t} - e^{\omega_- t}}{s_+ - s_-} e^{-ikz + k^2 Dt} \text{Ei}(-k^2 Dt) k^2 dk, \quad (29)$$

где  $\text{Ei}(z)$  — интегральная показательная функция. Если, кроме уже использованного при выводе (27), (29) равенства  $D_e = D_h = D$ , еще положить  $g_e = g_h = g$ , то в системе координат с  $V = u_g = v_-$  формула (29) принимает вид

$$E_a^{\parallel}(z, t) = \frac{q\hat{\alpha}^2}{2\pi^2\varepsilon} e^{\tau} \times \int_{-\infty}^{\infty} \cos(\hat{\alpha}z\xi) \frac{\text{sh}(\tau\sqrt{1-\xi^2})}{\sqrt{1-\xi^2}} \text{Ei}(-\xi^2 \mathcal{D}\tau) \xi^2 d\xi. \quad (30)$$

Формулы (29), (30) содержат одно из главных отличий локализованной в плоскости  $\boldsymbol{\rho}$  лавины от одномерного возмущения: внешнее поле ( $-E_{\text{ext}}$ ) не только ослабляется в центральных областях лавины, но и усиливается на периферии. Пример типичных зависимостей  $E_a^{\parallel}(z, t)$ , полученных путем численного интегрирования (30), приведен на рис. 2. Видно, что  $E_a^{\parallel}(z, t)$  максимально в

<sup>2</sup> Такая процедура пригодна для вычислений также в случае, когда  $D_e \neq D_h$ , но одна из величин  $g_{e,h}$  равна нулю. Получающееся при этом решение описывает эволюцию электронной лавины в газах (см., например, [2]).



**Рис. 2.** Зависимости напряженности поля лавины на оси симметрии от координаты при  $\tau = 6$  и различных значениях параметра  $\mathcal{D} = \hat{\alpha}D/v_+$ .

точке  $z = 0$ . При  $\Delta\tau > 4$  главный член асимптотического разложения (30) равен

$$E_a^{\parallel}(0, t) \approx \frac{q\hat{\alpha}^2}{\varepsilon} \frac{e^{2\tau}}{(2\pi\tau)^{3/2}} f(\mathcal{D}), \quad (31)$$

где

$$f(\mathcal{D}) = \frac{1}{2\sqrt{2\pi}} \int_0^{\infty} \sqrt{y} \exp(-y/2) \text{Ei}(-\mathcal{D}y) dy.$$

После дифференцирования этого равенства по  $\mathcal{D}$  интеграл в правой части сводится к элементарным функциям. Решение получившегося таким образом дифференциального уравнения для функции  $f(\mathcal{D})$  с очевидным граничным условием  $f(\infty) = 0$  имеет вид  $f(\mathcal{D}) = [\text{arcth}(\sqrt{\Delta}) - 1/\sqrt{\Delta}]$ . Численное решение уравнения  $\partial E_a^{\parallel}(z, t)/\partial z = 0$  показывает, что при больших  $\tau$  усиление внешнего поля на оси максимально в точках  $z = \pm z_E$ , где  $z_E \approx v_+ t \sqrt{7(3\mathcal{D} + 1)/2\tau}$ . Как видно из рис. 2, обычно ослабление внешнего поля ( $-E_{\text{ext}}$ ) в центре лавины значительно превосходит его усиление на периферии. В диапазоне значений  $D = 10^{-4} - 10$  с ошибкой не более 7% выполняется соотношение

$$E_a^{\parallel}(0, t) \approx -E_a^{\parallel}(z_E, t) \left[ 5/2 + \ln(1 + \sqrt{\mathcal{D}/2}) \right]. \quad (32)$$

Поперечное поле  $E_a^{\perp}(\mathbf{r}, t)$  оказывает заметное влияние на развитие лавины только в слабых полях и при малых коэффициентах диффузии [5], когда  $\sqrt{\Delta/\mathcal{D}} \gg 1$  и длина лавины (порядка  $4z_0$ ) много больше ее радиуса (порядка  $2\sqrt{Dt}$ ). В этом случае для вычисления  $E_a^{\perp}(\mathbf{r}, t)$

на расстояниях от оси  $\rho \approx 2\sqrt{Dt}$  можно воспользоваться приближением равномерно заряженной нити, которое дает

$$E_a^{\perp}(\mathbf{r}, t) \approx \frac{q\hat{\alpha}^2 z}{\varepsilon \rho (2\pi\Delta\tau)^{3/2}} \exp\left(2\tau - \frac{\hat{\alpha}^2 z^2}{2\Delta\tau}\right) \times \left[ 1 - \exp\left(\frac{-\hat{\alpha}^2 \rho^2}{4\mathcal{D}\tau}\right) \right]. \quad (33)$$

Наибольшее значение  $|E_a^{\perp}(\mathbf{r}, t)|$  достигается на окружностях  $\{z = \pm z_0, \rho = 2.14\sqrt{Dt}\}$ , где

$$E_a^{\perp}(\mathbf{r}, t) = E_M^{\perp}(t) \approx \frac{\pm q\hat{\alpha}^2}{8\pi^2 \varepsilon \tau^{3/2} \Delta \sqrt{\mathcal{D}}} e^{2\tau}. \quad (34)$$

Сравнение (34) с (31) показывает, что отношение  $E_M^{\perp}(t)/E_a^{\parallel}(0, t)$  не зависит от времени, причем  $E_M^{\perp}(t) < E_a^{\parallel}(0, t)$  при  $\mathcal{D} > 10^{-5}$ , а в наиболее интересном интервале значений  $\mathcal{D} > 10^{-2}$  оказывается  $E_M^{\perp}(t) = (0.12 - 0.18)E_a^{\parallel}(0, t)$ .

#### 4. Длительность линейной стадии эволюции возмущения

Полученные выше результаты верны до начала проявления нелинейных эффектов, которые вызываются искажением внешнего поля ( $-E_{\text{ext}}$ ) объемным зарядом  $Q(\mathbf{r}, t)$ . Для определения моментов времени, в которые характеризующие процесс величины отклоняются от своих „невозмущенных“ значений, необходимо задаться некоторой допустимой величиной отклонения  $\eta \ll 1$ . Далее при конкретных расчетах мы будем считать, что  $\eta = 0.2$ .

При плоском начальном возмущении искажение поля приводит лишь к снижению частоты ударной ионизации, которое максимально в точке  $z = 0$ . Используя (25), легко найти момент времени  $t_f \equiv \tau_f/g$ , в который  $\{1 - g[E(0, t)]/g(E_{\text{ext}})\} = \eta$ : безразмерное время  $\tau_f$  является корнем уравнения

$$\sqrt{\tau_f} e^{-2\tau_f} = \frac{q\bar{n}_0(0)}{\sqrt{2\pi\Delta\varepsilon\eta}} \frac{d \ln g}{dE} \Big|_{E=E_{\text{ext}}}. \quad (35)$$

В свою очередь уменьшение частоты ионизации вызывает замедление скорости роста концентраций носителей заряда. Без учета искажения внешнего поля  $n, p \propto \exp[2g(E_{\text{ext}})t]$ , а с учетом этого эффекта в первом приближении  $n, p \propto \exp\left\{2 \int_0^t g[E_{\text{ext}} + E_a(0, t)] dt\right\}$ . Так как относительное различие между этими двумя законами роста достигнет величины  $\eta$  в центре лавины

при условии<sup>3</sup>

$$\begin{aligned} \ln(1 + \eta) &\approx \eta \approx 2 \int_0^{\tau} \{1 - g[E(0, t)]/g(E_{\text{ext}})\} d\tau \\ &\approx 2 \int_0^{\tau} E_a(0, t) d\tau \frac{d \ln g}{dE} \Big|_{E=E_{\text{ext}}} \approx E_a(0, t) \frac{d \ln g}{dE} \Big|_{E=E_{\text{ext}}}, \end{aligned}$$

соответствующий момент времени опять определяется уравнением (35), т. е. равен  $t_f$ .

В случае точечного начального возмущения использование формулы (31) приводит к уравнению

$$\tau_a^{3/2} e^{-2\tau_a} = \frac{q\tilde{\alpha}^2 f(\mathcal{D})}{(2\pi)^{3/2} \varepsilon \eta} \frac{d \ln g}{dE} \Big|_{E=E_{\text{ext}}} \quad (36)$$

для времени  $t_a \equiv \tau_a/g$ , которое имеет тот же смысл, что и  $t_f$  в одномерном случае. Однако теперь, кроме уменьшения  $g$ , возможно еще ускорение расширения лавины за счет появления поперечного поля  $E_a^\perp(\mathbf{r}, t)$  и соответствующей радиальной компоненты дрейфовой скорости,<sup>4</sup> которая в линейном по  $E_a^\perp$  приближении равна  $v_{e,h}^\perp \approx v_{e,h} E_a^\perp / E_{\text{ext}}$ . Этому эффекту соответствуют два характерных времени. Во-первых, время  $t_v \equiv \tau_v/g$ , при котором отношение дрейфового потока  $nv^\perp$  к диффузионному  $D\partial n/\partial \rho$  достигнет величины  $\eta$ . Используя (33), для  $\tau_v$  можно получить уравнение

$$\tau_v e^{-2\tau_v} = \frac{q\tilde{\alpha}^2}{2(2\pi)^{3/2} \varepsilon E_{\text{ext}} \eta \mathcal{D} \Delta}. \quad (37)$$

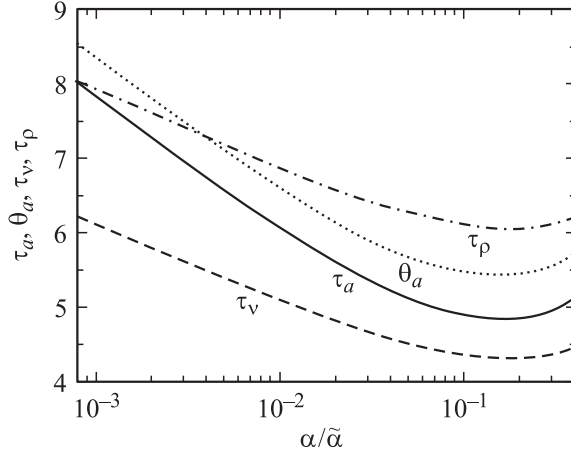
Во-вторых, время  $t_\rho \equiv \tau_\rho/g$ , при котором максимальное радиальное смещение электронов за счет поперечного дрейфа  $\rho_M(t_\rho) = \max_0^\rho [\int v_e^\perp(\mathbf{r}, t) dt]$  достигнет величины  $2\eta\sqrt{Dt_\rho}$ . Численное интегрирование с учетом (33) показывает, что при актуальных значениях  $\tau = 3-11$  поперечное смещение максимально в плоскостях  $z \approx \pm z_Q$  и с точностью около 10% равно  $\rho_M(t) \approx q\tilde{\alpha}^2 e^{2\tau_v} / \varepsilon E_{\text{ext}} (2\pi)^{5/2} \sqrt{\mathcal{D}\tau} \Delta \tau$ . Вследствие этого уравнение для  $\tau_\rho$  имеет вид

$$\tau_\rho^2 e^{-2\tau_\rho} = \frac{q\tilde{\alpha}^2}{2(2\pi)^{5/2} \varepsilon E_{\text{ext}} \eta \mathcal{D} \Delta}. \quad (38)$$

Результаты решения уравнений (36)–(38) при  $g(E) = v_s \tilde{\alpha} \exp(-\tilde{E}/E)$ , типичных значениях  $\varepsilon = 10^{-12}$  Ф/см,  $\tilde{\alpha} = 10^6$  см<sup>-1</sup>,  $\tilde{E} = 1.5 \cdot 10^6$  В/см,  $v_s = 10^7$  см/с, и  $\mathcal{D} = D\tilde{\alpha}/v_s = 2$  приведены на рис. 3. Там же для сравнения приведены результаты расчетов безразмерного

<sup>3</sup> Эти приближенные равенства верны в линейном по  $E_a$  приближении при  $\eta \ll 1$  и  $\exp(2\tau) \gg 1$ .

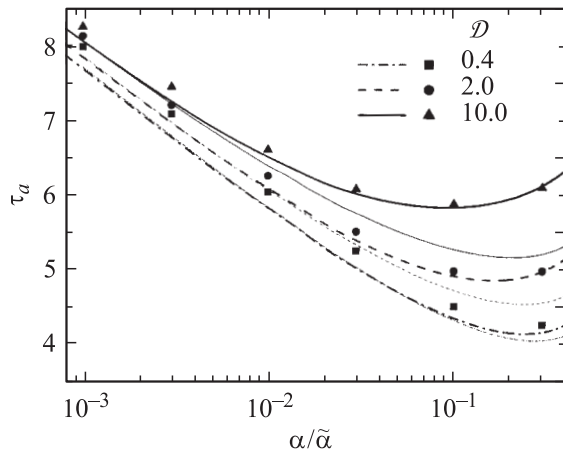
<sup>4</sup> Влиянием поперечного поля на частоту ударной ионизации можно пренебречь, поскольку его учет при вычислении  $g$  дает лишь малые квадратичные поправки  $(E_a^\perp)^2/2E_{\text{ext}}$  и, кроме того, обычно  $E_M^\perp(t) \ll E_a^\perp(0, t)$ .



**Рис. 3.** Зависимости безразмерного времени начала проявления нелинейных эффектов от нормированного коэффициента ударной ионизации в исходном внешнем поле при  $\mathcal{D} = D\tilde{\alpha}/v_s = 2$ .  $\tau_a$  — время уменьшения частоты ударной ионизации в центре лавины на 20%;  $\theta_a$  — время увеличения частоты ударной ионизации в точках  $z = \pm z_E$  на 20%;  $\tau_v$  — время, при котором наибольший поперечный дрейфовый поток составляет 20% диффузионного потока;  $\tau_\rho$  — время, при котором наибольшее смещение за счет поперечного дрейфа равно  $0.4\sqrt{Dt}$ .

времени  $\theta_a$ , при котором относительное увеличение частоты ударной ионизации в точках  $z = \pm z_E$  достигает величины  $\tau$ . Для вычисления  $\theta_a$  использовалось уравнение, отличающееся от (36) наличием в правой части дополнительного множителя  $[5/2 + \ln(1 + \sqrt{\mathcal{D}/2})]^{-1}$  (см. (32)). Видно, что раньше всего становится заметным поперечный дрейф, но обычно его вклад в расширение лавины становится соизмеримым с диффузионным расширением при  $t = t_\rho > t_a$ . Это последнее неравенство может нарушаться в слабых полях и при малых  $D$ . Однако тогда выполняется сильное неравенство  $z_Q \gg 2\sqrt{Dt_a}$ , вследствие которого даже значительное уширение тонкой лавины на большом удалении от центра не должно оказывать заметного влияния на величину  $E_a(0, t)$ . Несколько большее, но также незначительное влияние поперечный дрейф может оказывать на усиление поля перед фронтом лавины, поскольку  $(z_E - z_Q) \geq 0.87z_Q$ . Таким образом, и при точечном начальном возмущении время  $t_a$  определяет длительность линейной стадии эволюции лавины и время начала ЛСП. Однако в слабых полях и при малых  $D$  уравнение (36) должно давать несколько заниженное значение  $t_a$ .

Для проверки изложенных выше результатов мы провели численное моделирование развития электронно-дырочной лавины в однородном и постоянном внешнем поле. Система уравнений (1) решалась методом конечных элементов вместе с уравнением Пуассона при  $D_{e,h} = D$ ,  $v_{e,h} = v_s E / (E + E_s)$ ,  $E_s = 0.01\tilde{E}$  и значениях остальных параметров, указанных выше. Размеры всей



**Рис. 4.** Зависимости безразмерного времени начала ЛСП  $\tau_a$  от нормированного коэффициента ударной ионизации в исходном внешнем поле при различных значениях параметра  $\mathcal{D} = D\tilde{\alpha}/v_+$ . Толстые линии — аналитический расчет по формуле (36), тонкие линии — расчет без учета продольной диффузии [5], точки — результаты численного моделирования.

области интегрирования были не меньше  $100/\alpha$ , размеры элементов вблизи начала координат были равны  $0.1/\tilde{\alpha}$ , а в области развития лавины изменялись в пределах  $(0.05-0.2)/\alpha$ . Максимальный шаг по времени изменялся в пределах  $(0.002-0.01)/g$ . Зависимость  $n_0(\mathbf{r})$  аппроксимировалась гауссовой функцией с характерным диаметром  $2/\tilde{\alpha}$  и амплитудой, обеспечивающей равенство  $\int n(\mathbf{r}, 0)d\mathbf{r} = 1$ . Результаты вычисления моментов времени, при которых коэффициент ударной ионизации в центре лавины уменьшался на 20%, приведены на рис. 4. Как видно, основные выводы аналитической теории качественно и количественно согласуются с результатами численного моделирования. Учет продольной диффузии позволил практически полностью ликвидировать расхождение между теорией и численным экспериментом в сильных полях и при больших  $D$ , наблюдавшееся в работе [5]. В слабых полях и при малых  $D$  расхождение, обусловленное поперечным дрейфом, остается заметным, но и в худшем случае оно не превосходит 5%.

## 5. Заключение

В работе получено полное аналитическое решение задачи о линейной стадии эволюции электронно-дырочных лавин в однородном и постоянном внешнем поле. Теория учитывает дрейф, диффузию и ударную ионизацию электронов и дырок и позволяет вычислить все основные параметры лавин, вплоть до начала проявления нелинейных эффектов в момент времени  $t_a$ . Конкретные вычисления проведены для частного случая равных коэффициентов диффузии и частот ударной ионизации электронов и дырок. Основные результаты теории состоят в следующем.

Лавина представляет собой электронно-дырочное облако, вытянутое вдоль внешнего поля. Заряды большинства электронов и дырок в лавине компенсируют друг друга и лишь малая часть (около 15%) влияет на искажение внешнего поля. Радиус лавины определяется главным образом поперечной диффузией и равен  $2\sqrt{Dt}$ . Эволюция лавины в направлении внешнего поля характеризуется несколькими длинами и скоростями. Во-первых, лавина движется как целое относительно кристаллической решетки со своей групповой скоростью  $u_g$ , определяемой формулой (20). В сопутствующей системе координат инкремент нарастания возмущения максимален и равен суммарной частоте ударной ионизации  $(g_e + g_h)$ . Со скоростью  $u_g$  движется также точка  $z = 0$  (центр лавины), где объемный заряд равен нулю, а поле лавины и концентрации носителей заряда максимальны. Во-вторых, точки  $\pm z_Q$  и  $\pm z_E$ , в которых максимальны плотность объемного заряда и усиление электрического поля, удаляются от ее центра по законам  $z_Q(\tau) = \sqrt{(1 + 2\mathcal{D})\tau v_+/\tilde{\alpha}}$  и  $z_E(\tau) \approx \sqrt{(1 + 3\mathcal{D})7\tau v_+/2\tilde{\alpha}}$ . Это означает, что удлинение центральных областей лавины носит диффузионный характер, даже если  $\mathcal{D} = \hat{\alpha}D/v_+ \ll 1$  и истинная диффузия не дает заметного вклада в перенос носителей заряда вдоль внешнего поля. В-третьих, с течением времени точки  $\pm z_E$  все сильнее отстают от лидирующих фронтов лавины, которые при больших  $t$  распространяются с постоянными скоростями  $V_c$ . Величины  $V_c$  определяются масштабом затухания  $1/\lambda_0$  начального возмущения в направлениях, параллельных внешнему полю:  $V_c$  уменьшается с ростом  $\lambda_0$  в соответствии с формулой (16) при слабой локализации начального возмущения ( $\lambda_0 < \lambda^*$ ), но не зависит от  $\lambda_0$  и определяется уравнением (14) или (в частных случаях) формулами (17), (18) при сильной локализации начального возмущения (при  $\lambda_0 \geq \lambda^*$ , в частности при точечном начальном возмущении). Пример такой зависимости приведен на рис. 1 для  $\mathcal{D} = 1$ . Такое значение выбрано потому, что оно вполне может быть достигнуто в предельно сильных полях ( $\sim 1$  МВ/см) при типичных значениях параметров полупроводников. В этом случае скорость распространения фронта  $V_c = u^*$  может более чем в три раза превосходить  $v_{e,h}$  даже при отсутствии перед фронтом лавины затравочных носителей заряда (т.е. при  $\lambda_0 \rightarrow \infty$ ). Этот результат тем более важен, что величина  $u^*$  является также нижней границей скорости распространения стационарных нелинейных волн (в нашем случае — стационарных плоских волн ударной ионизации), порождаемых сильно локализованными начальными возмущениями [9].

Внешнее поле сильнее всего искажается в центре лавины, где оно ослабляется на величину  $E_a^{\parallel}(0, t)$ , определяемую формулой (31). Наибольшее увеличение напряженности внешнего поля на величину  $|E_a^{\parallel}(z_E, t)|$  в 2.5–4 раза меньше, чем  $|E_a^{\parallel}(0, t)|$ , как это видно из рис. 2 и формулы (32). Максимальное значение напряженности поперечного поля  $E_a^{\perp}(\mathbf{r}, t)$  достигается на окружностях

$\{z = \pm z_0, \rho = 2.14\sqrt{Dt}\}$  и определяется формулой (34). При типичных значениях параметров  $|E_a^\perp(\mathbf{r}, t)|$  также значительно меньше  $E_a^\parallel(0, t)$ . Искажение внешнего поля приводит к нелинейным эффектам, главное из которых состоит в уменьшении частоты ударной ионизации в центре лавины. Так как именно в этой области концентрации электронов и дырок максимальны, в первую очередь нелинейность должна вызвать уменьшение скорости роста полного количества пар в лавине  $N_i(t)$  по сравнению с „невозмущенным“ законом  $N_i(t) = \exp(2gt)$ . Аналогичным образом должен измениться и закон роста тока во внешней цепи  $J(t) = qN_i(t)(v_e + v_h)/d$ , что в принципе можно наблюдать экспериментально. Момент времени  $t_a$ , в который относительное уменьшение  $g$  и  $N_i(t)$  по сравнению с „невозмущенными“ значениями достигнет некоторой заданной величины  $\eta \ll 1$ , следует считать завершением стадии линейной эволюции лавины и началом лавинно-стримерного перехода.<sup>5</sup> Это время определяется уравнением (36), которое приводит к заметному отклонению от простейшей гиперболической зависимости  $t_a = \text{const}/g(E_{\text{ext}})$  (иногда называемой критерием Ретера–Мика [12]). В результате оказывается (рис. 4), что полное число пар  $\exp(2gt)$  в лавине к моменту времени  $t = t_a$  может изменяться на 2–3 порядка в зависимости от напряженности внешнего поля.

Автор благодарен А.В. Горбатюку за обсуждение вопросов, затронутых в настоящей статье.

Работа выполнена при поддержке РФФИ (гранты № 05-02-16541 и 05-08-18235).

## Список литературы

- [1] Г. Ретер. *Электронные лавины и пробой газов* (М., Мир, 1968).
- [2] Э.Д. Лозаннский. УФН, **117**, 491 (1975).
- [3] С.Н. Вайнштейн, Ю.В. Жилияев, М.Е. Левинштейн. Письма ЖТФ, **14**, 152 (1988).
- [4] А.С. Кюрегян. Письма ЖТФ, **31**, 11 (2005).
- [5] А.С. Кюрегян. Письма ЖТФ, **33**, 14, (2007).
- [6] P. Rodin, P. Ivanov, I. Grekhov. J. Appl. Phys., **99**, 044 503 (2006).
- [7] P. Rodin, U. Ebert, W. Hundsdorfer, I. Grekhov. J. Appl. Phys., **92**, 1971 (2002).
- [8] Е.М. Лифшиц, Л.П. Питаевский. *Физическая кинетика* (М., Наука, 1979) с. 330.
- [9] W. van Saarloos. Phys. Reports, **386**, 29 (2003).
- [10] U. Ebert, W. van Saarloos, C. Caroli. Phys. Rev. Lett., **77**, 4178 (1996).

- [11] U. Ebert, W. van Saarloos, C. Caroli. Phys. Rev. E, **55**, 1530 (1997).
- [12] C. Montijn, U. Ebert. J. Phys. D: Appl. Pjys., **39**, 2979 (2006).
- [13] И.М. Бортник, И.И. Кочетов, К.Н. Ульянов. ТВТ, **20**, 193 (1982).

Редактор Л.В. Беляков

## Linear stage of the evolution of electron-hole avalanches in semiconductors

A.S. Kyuregyan

All-Russian Electrical Engineering Institute,  
111250 Moscow, Russia

**Abstract** A complete analytical solution of the problem related to the linear stage of evolution of the electron-hole avalanches in uniform and stationary extremal electric field  $E_{\text{ext}}$  is obtained. The suggested theory takes into account drift, diffusion and the impact ionization of electrons and holes and makes it possible to calculate the spatial-temporal distributions of fields and charges and the basic parameters of avalanches up to the appearance of nonlinear effects at the moment of time  $t_a$ . Formulae for the avalanche group velocity and its leading front velocity are presented. It is shown that time  $t_a$  should be determined using the condition that the impact ionization coefficient  $\alpha$  in the center of avalanche reduces by the adjusted low value  $\eta$ . A transcendental equation which enables one to calculate  $t_a$  as a function of  $\eta$ ,  $\alpha(E_{\text{ext}})$  and other parameters of semiconductor is obtained. It is shown, that as  $\alpha(E_{\text{ext}})$  increases by two orders of magnitude the total number of electron-hole pairs at the moment  $t_a$  decreases almost by three orders.

<sup>5</sup> Недавно в работе [12] было предложено считать началом ЛСП в газах время  $t_E$ , при котором наибольшее увеличение напряженности внешнего поля достигает 3%. По нашему мнению, этот критерий является менее общим, так как в силу резкой зависимости  $g_e(E)$  внешние проявления нелинейности в момент  $t = t_E$  должны сильно зависеть от величины  $E_{\text{ext}}$ . Кроме того, в газах ослабление внешнего поля также значительно превосходит его усиление в течение линейной стадии эволюции лавины [12], что в первую очередь приводит к замедлению скорости роста полного числа электронов [13].